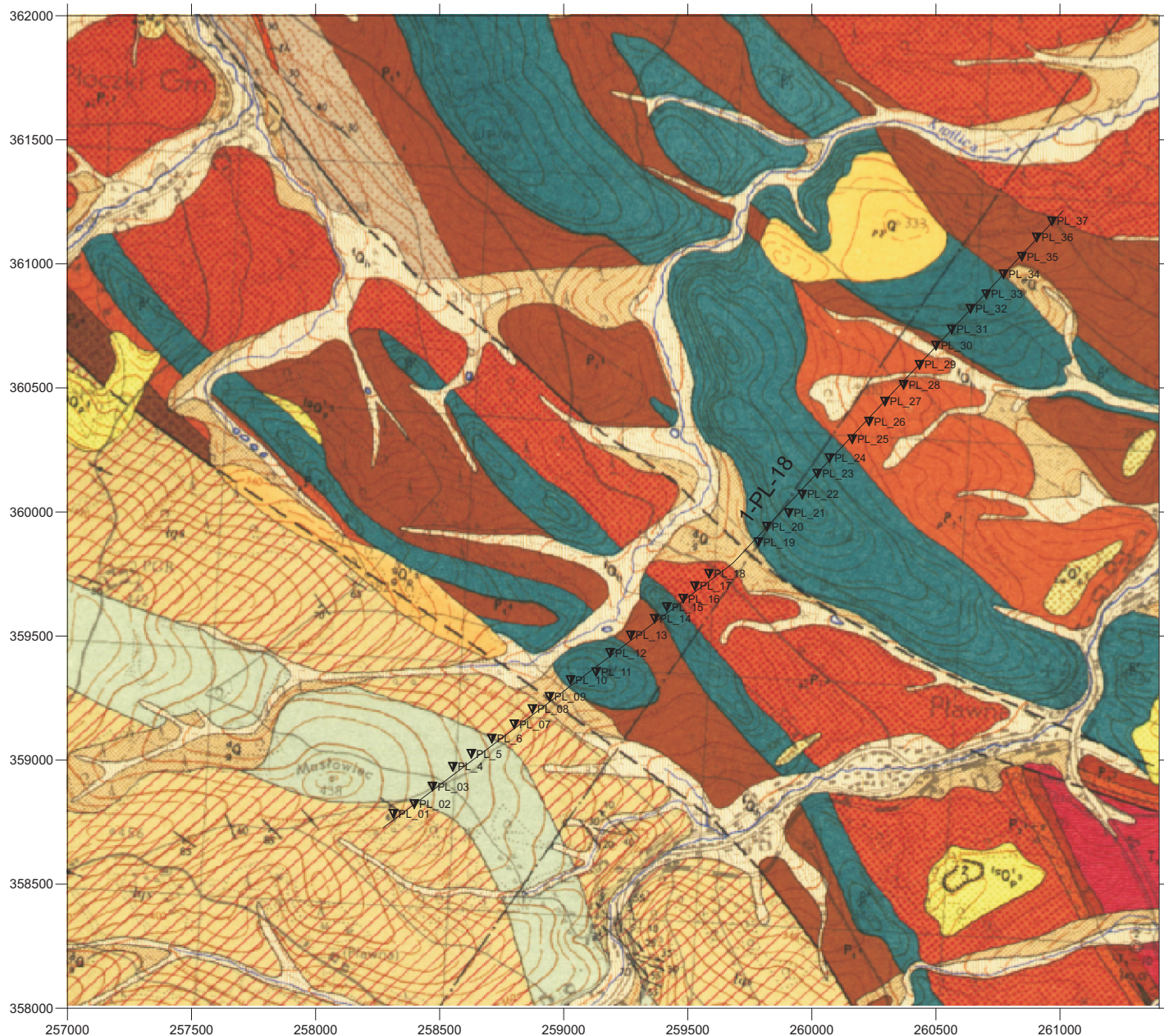


Figura 3.7.1.1 Lokalizacja sondowań magnetotellurycznych na tle mapy topograficznej podkład-Mapa Topograficzna Polski źródło:<http://mapy.geoportal.gov.pl/wss/service/img/guest/TOPO/MapServer/WMSServer>-rejon badań – Pławna, skala 1:25 000



OBJAŚNIENIA BARW I SYMBOLI

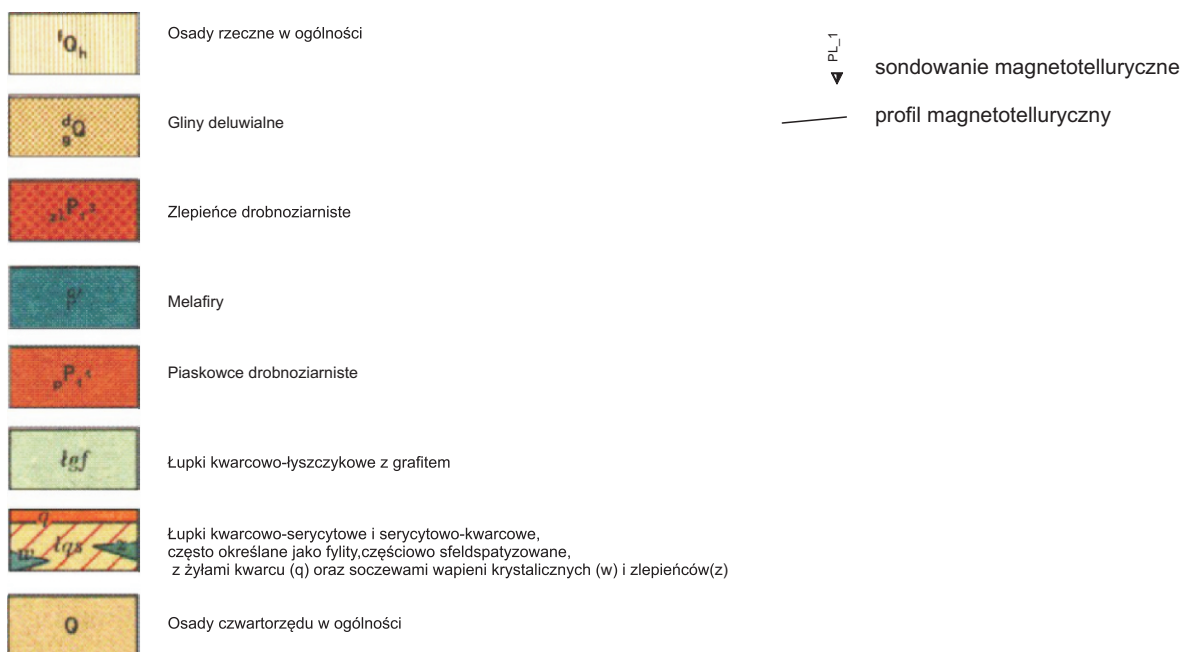


Figura 3.7.1.2 Lokalizacja sondowań magnetotellurycznych na tle Szczegółowej Mapy Geologicznej Sudetów - rejon Pławna, fragment arkusza: M-33-32-C-c LUBOMIERZ- opracował: J. Milewicz, 1962 r., skala 1:25 000

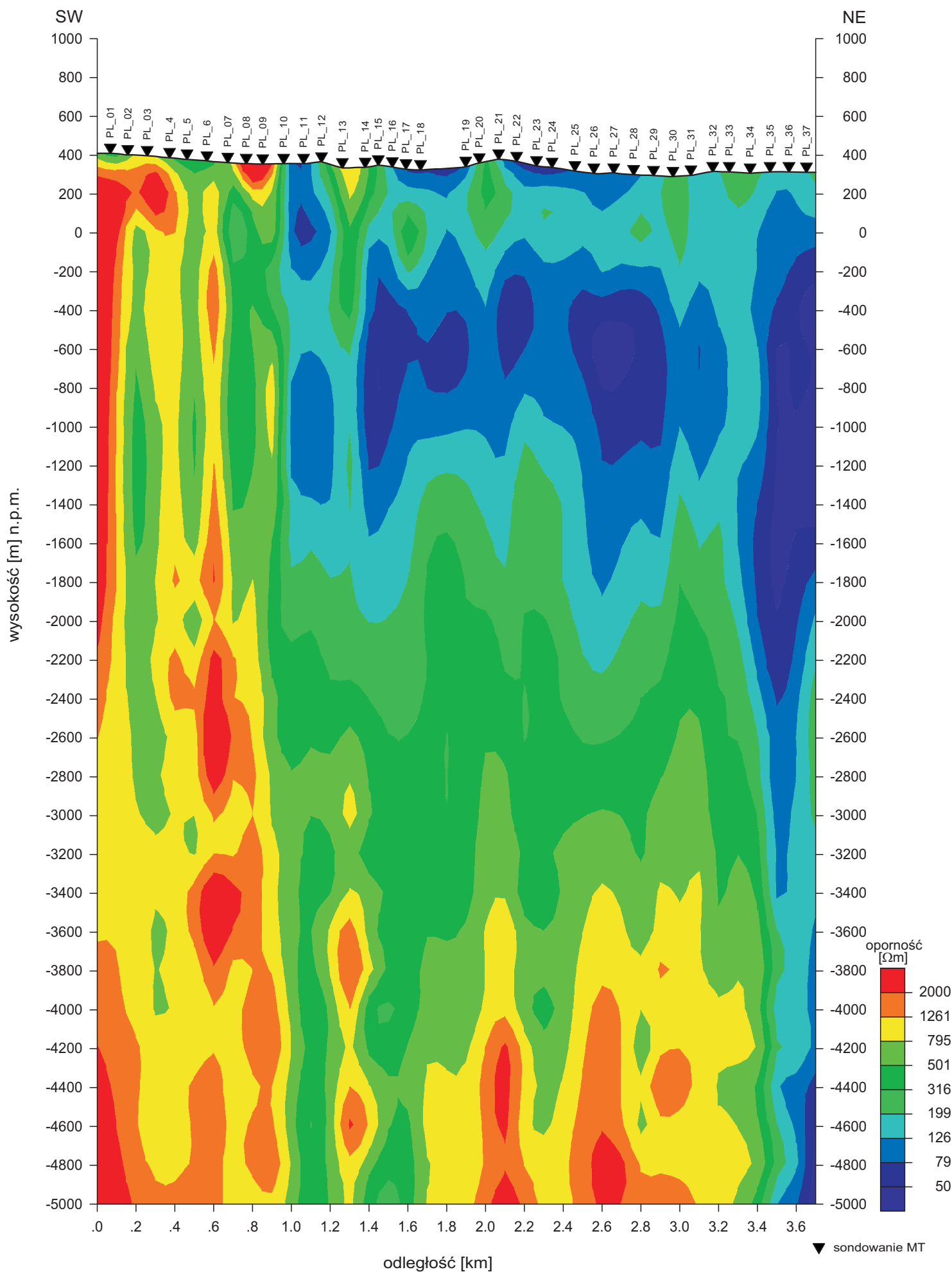
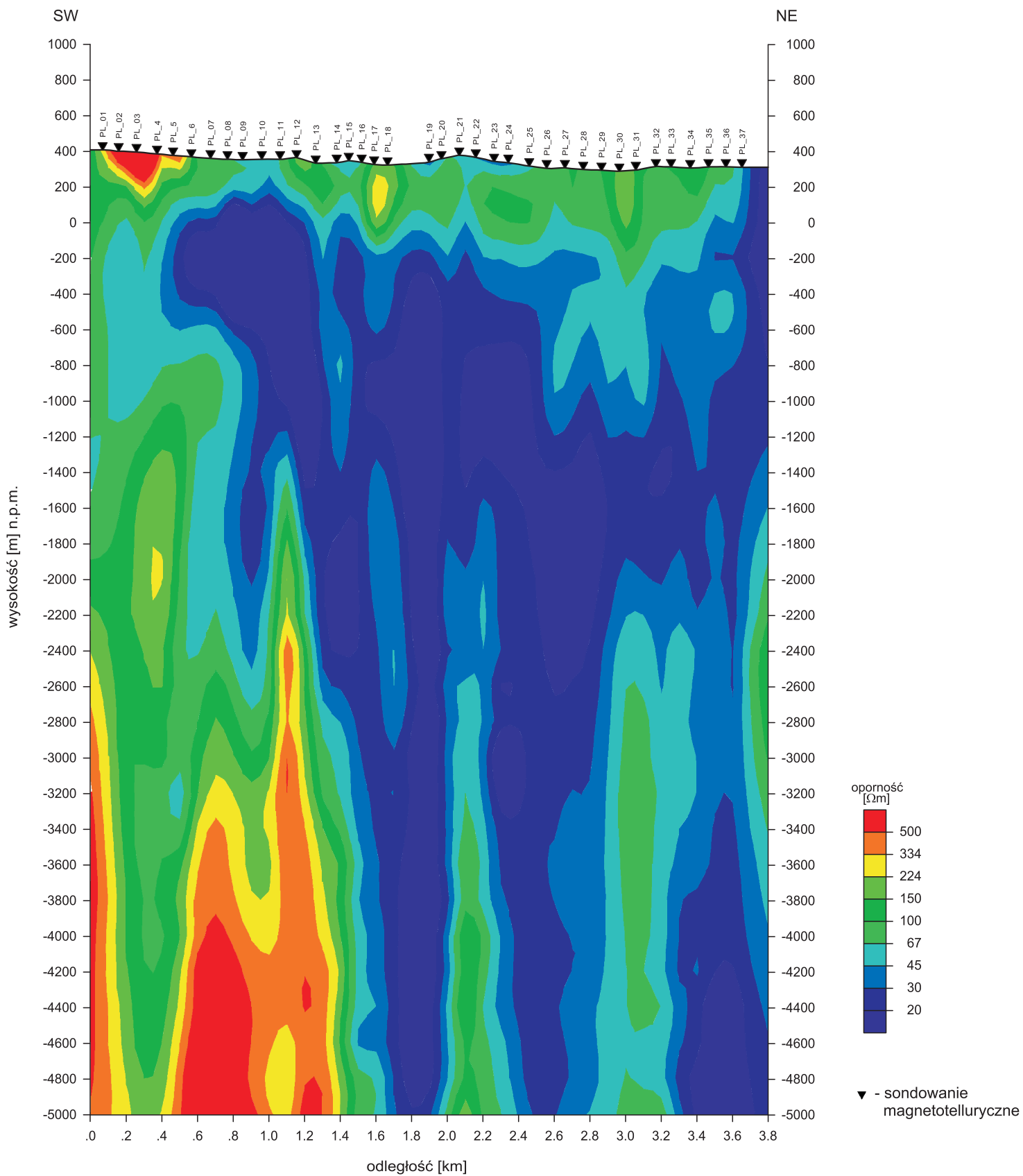


Figura 3.7.1.3 Rozkład oporności wzdłuż profilu 1-PL-18 Pławna na podstawie inwersji 1D wg algorytmu Occama dla polaryzacji magnetycznej, skala 1:25 000



Rys3.7.1.4 Rozkład oporności wzdłuż profilu 1-PL-18 Pławna na podstawie inwersji 1D wg algorytmu Occama dla polaryzacji elektrycznej, skala 1:25 000

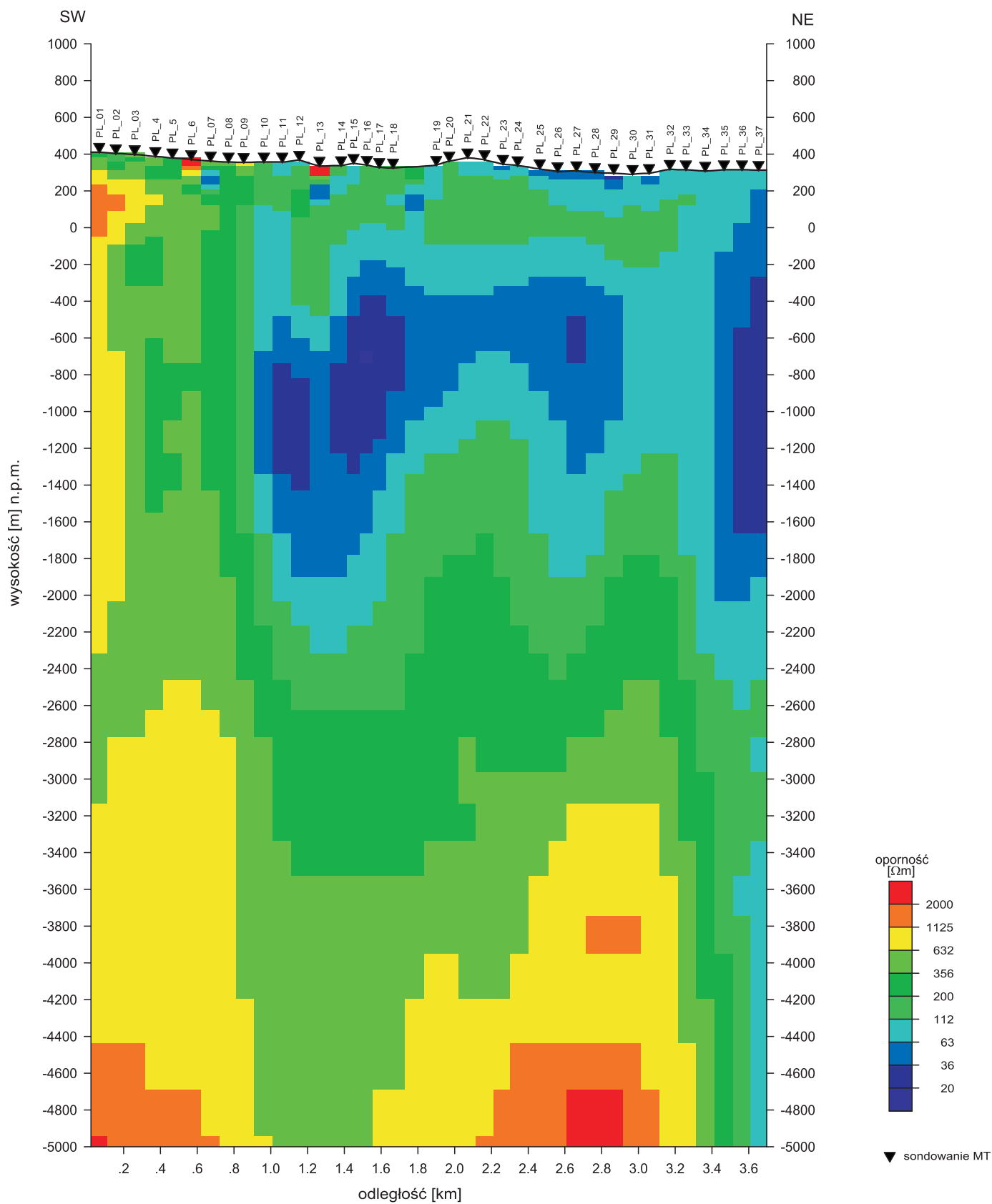


Figura 3.7.1.5 Rozkład oporności wzdłuż profilu 1-PL-18 Pławna na podstawie inwersji 2D wg algorytmu NLCG, skala 1:25 000

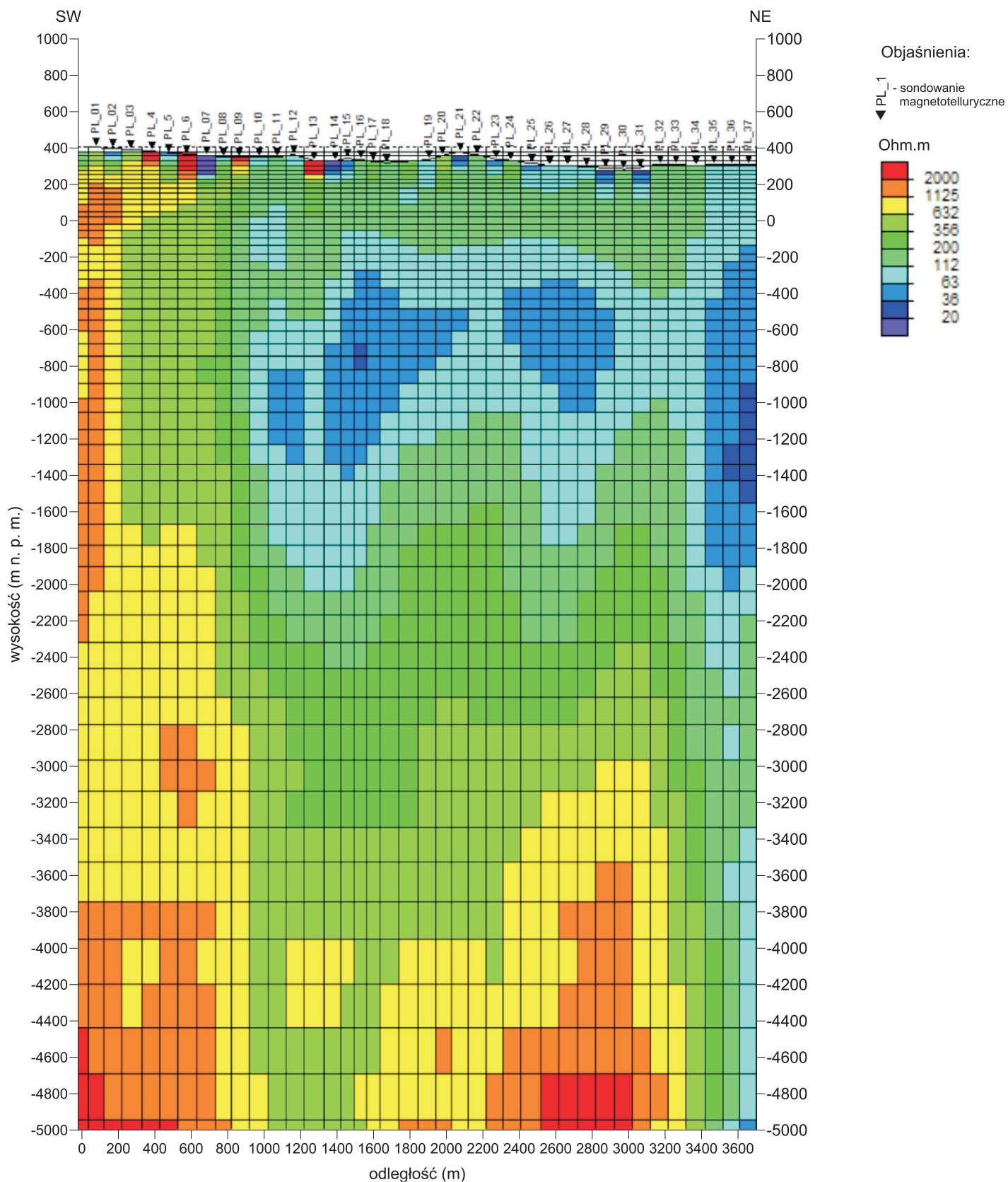


Figura 3.7.1.5a Rozkład oporności wzdłuż profilu 1-PL-18 Pławna na podstawie inwersji 2D wg algorytmu NLCG (iteracja 1), skala 1: 25 000

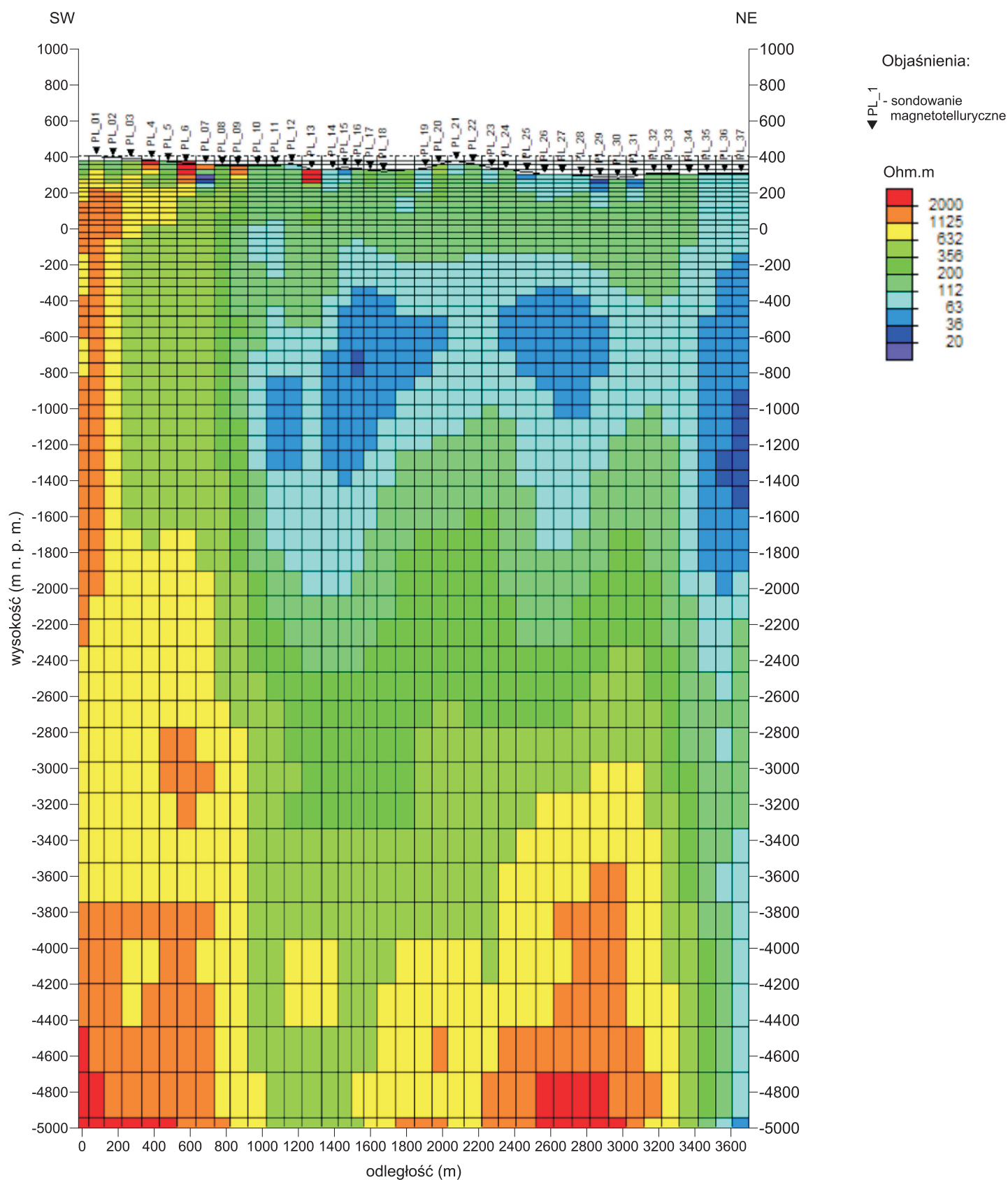


Figura 3.7.1.5b Rozkład oporności wzdłuż profilu 1-PL-18 Pławna na podstawie inwersji 2D wg algorytmu NLCG (iteracja 2), skala 1: 25 000

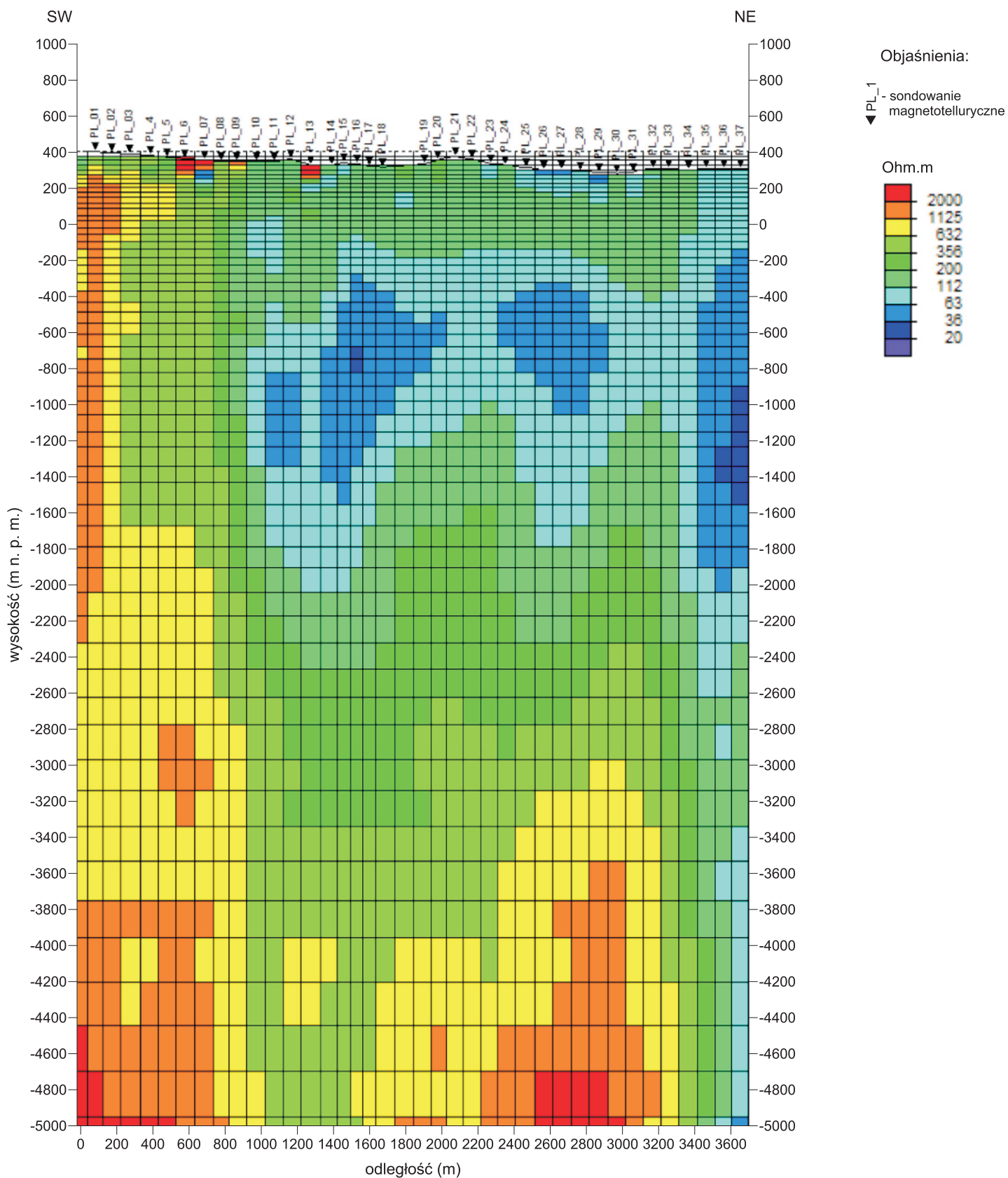


Figura 3.7.1.5c Rozkład oporności wzdłuż profilu 1-PL-18 Pławna na podstawie inwersji 2D wg algorytmu NLCG (iteracja 3), skala 1: 25 000

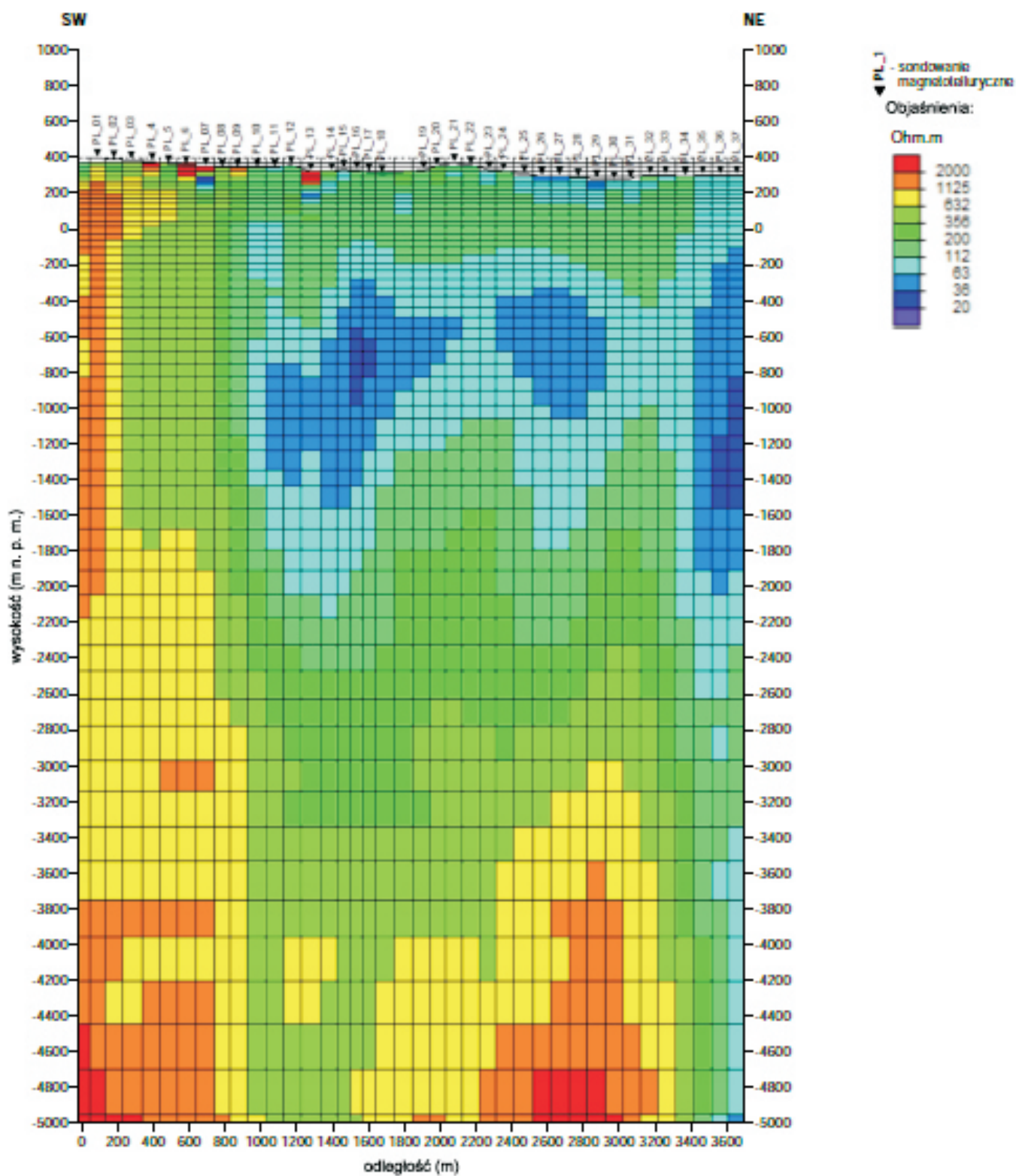


Figura 3.7.1.5d Rozkład oporności wzdłuż profilu 1-PL-18 Pławna na podstawie inwersji 2D wg algorytmu NLGC (iteracja 4), skala 1: 25 000

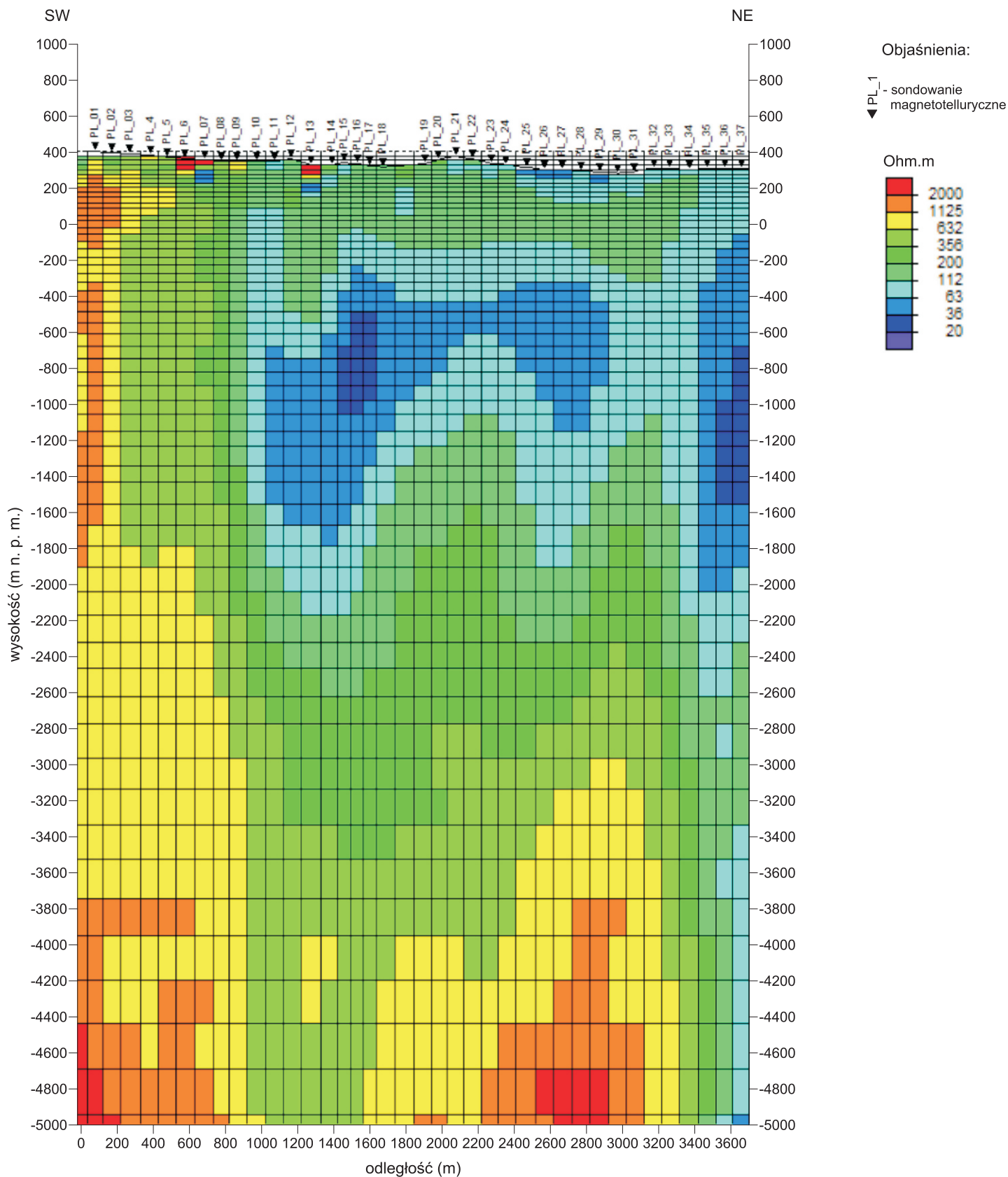


Figura 3.7.1.5e Rozkład oporności wzdłuż profilu 1-PL-18 Pławna na podstawie inwersji 2D wg algorytmu NLCG (iteracja 5), skala 1: 25 000

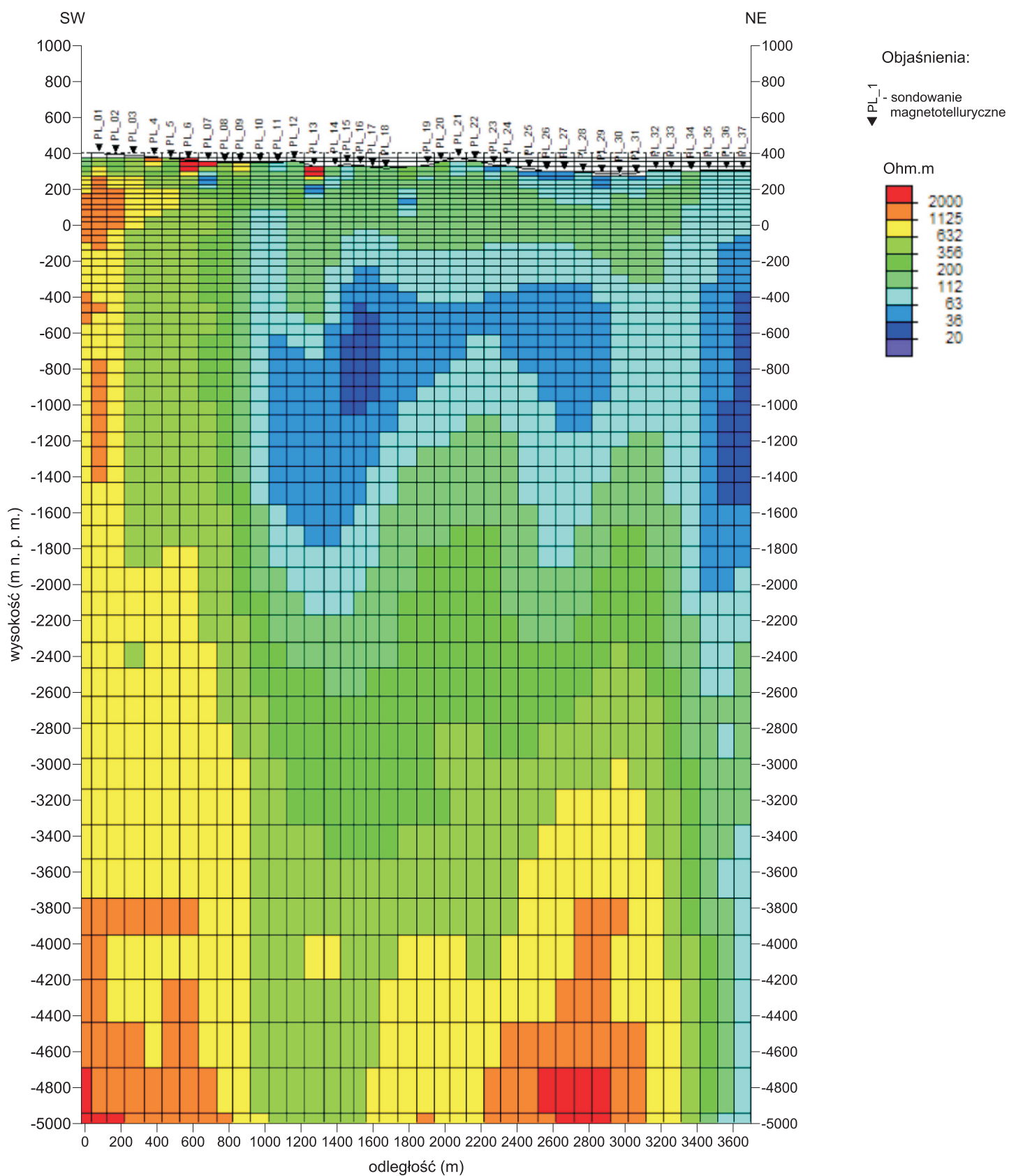


Figura 3.7.1.5f Rozkład oporności wzdłuż profilu 1-PL-18 Pławna na podstawie inwersji 2D wg algorytmu NLCG (iteracja 6), skala 1: 25 000

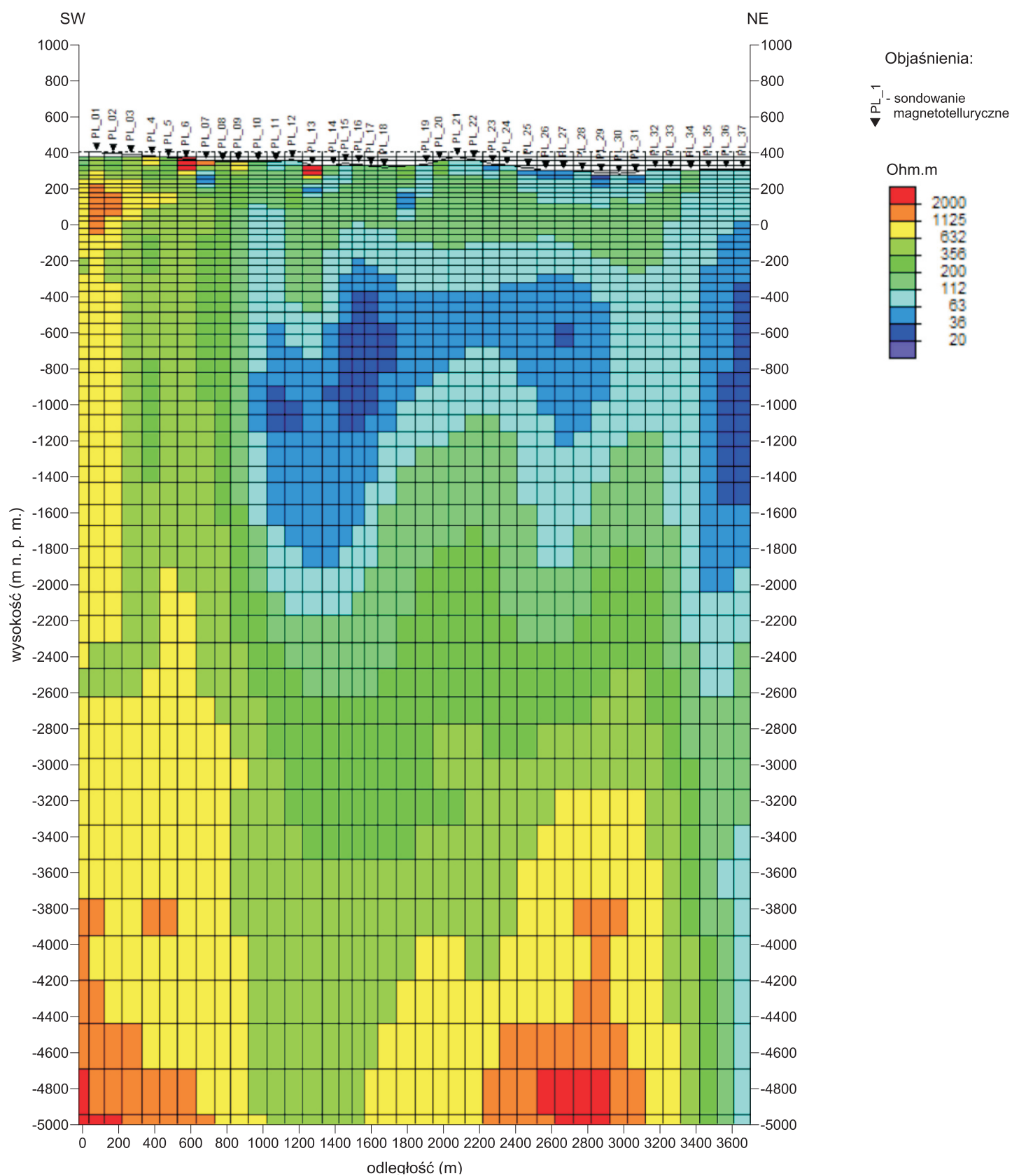


Figura 3.7.1.5g Rozkład oporności wzdłuż profilu 1-PL-18 Pławna na podstawie inwersji 2D wg algorytmu NLCG (iteracja 7), skala 1: 25 000

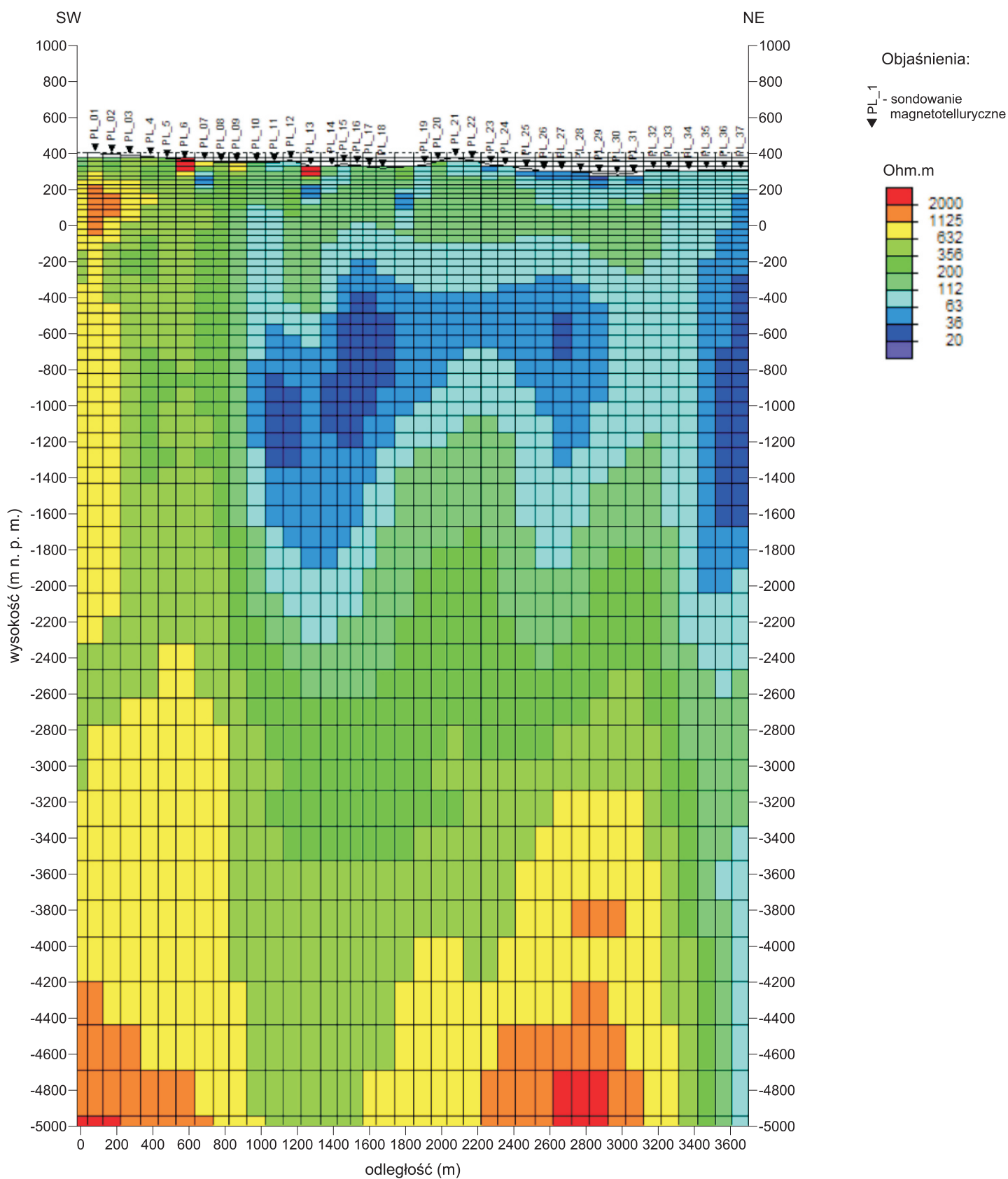


Figura 3.7.1.5h Rozkład oporności wzdłuż profilu 1-PL-18 Pławna na podstawie inwersji 2D wg algorytmu NLCG (iteracja 8), skala 1: 25 000

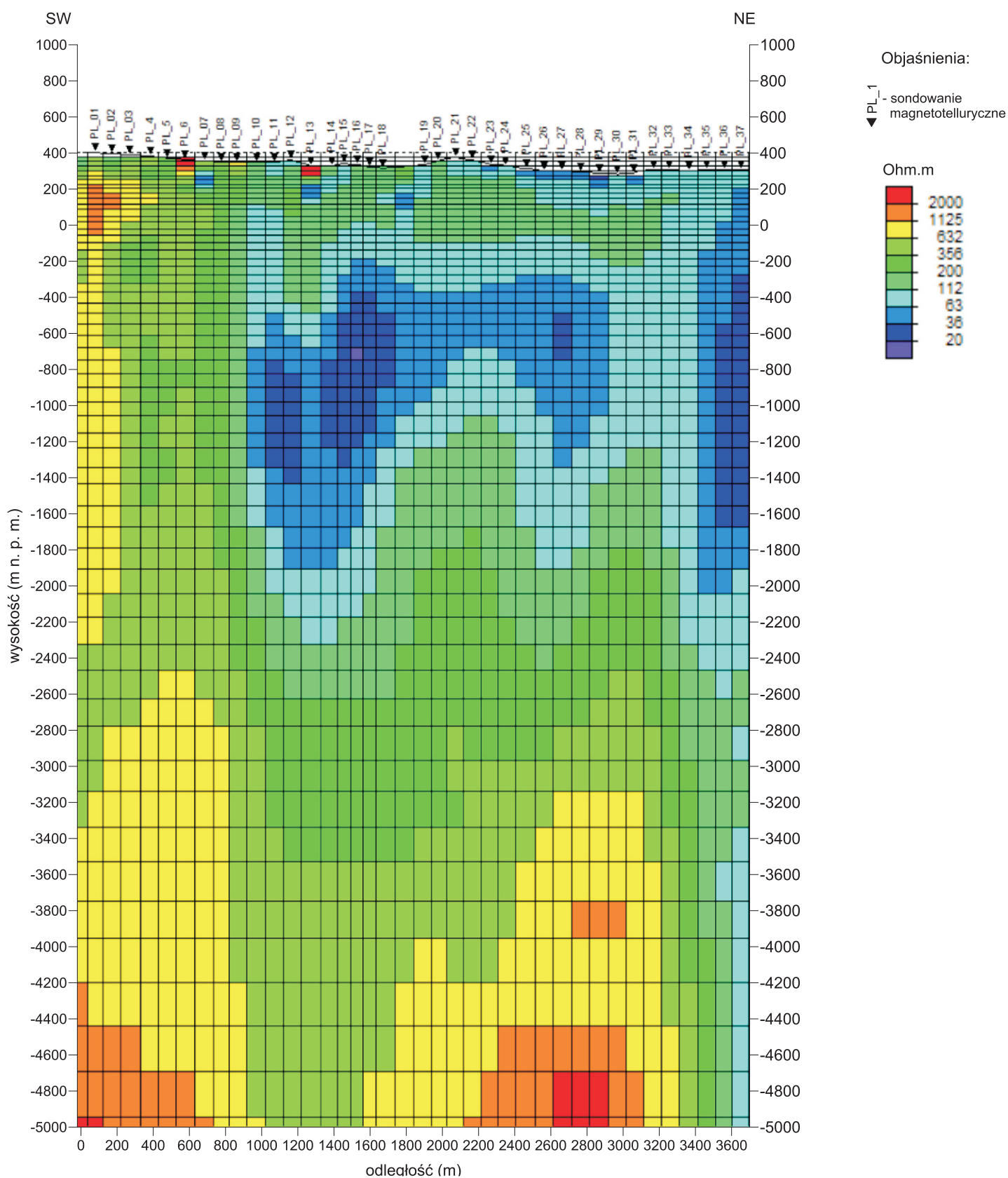


Figura 3.7.1.5i Rozkład oporności wzdłuż profilu 1-PL-18 Pławna na podstawie inwersji 2D wg algorytmu NLCG (iteracja 9), skala 1: 25 000

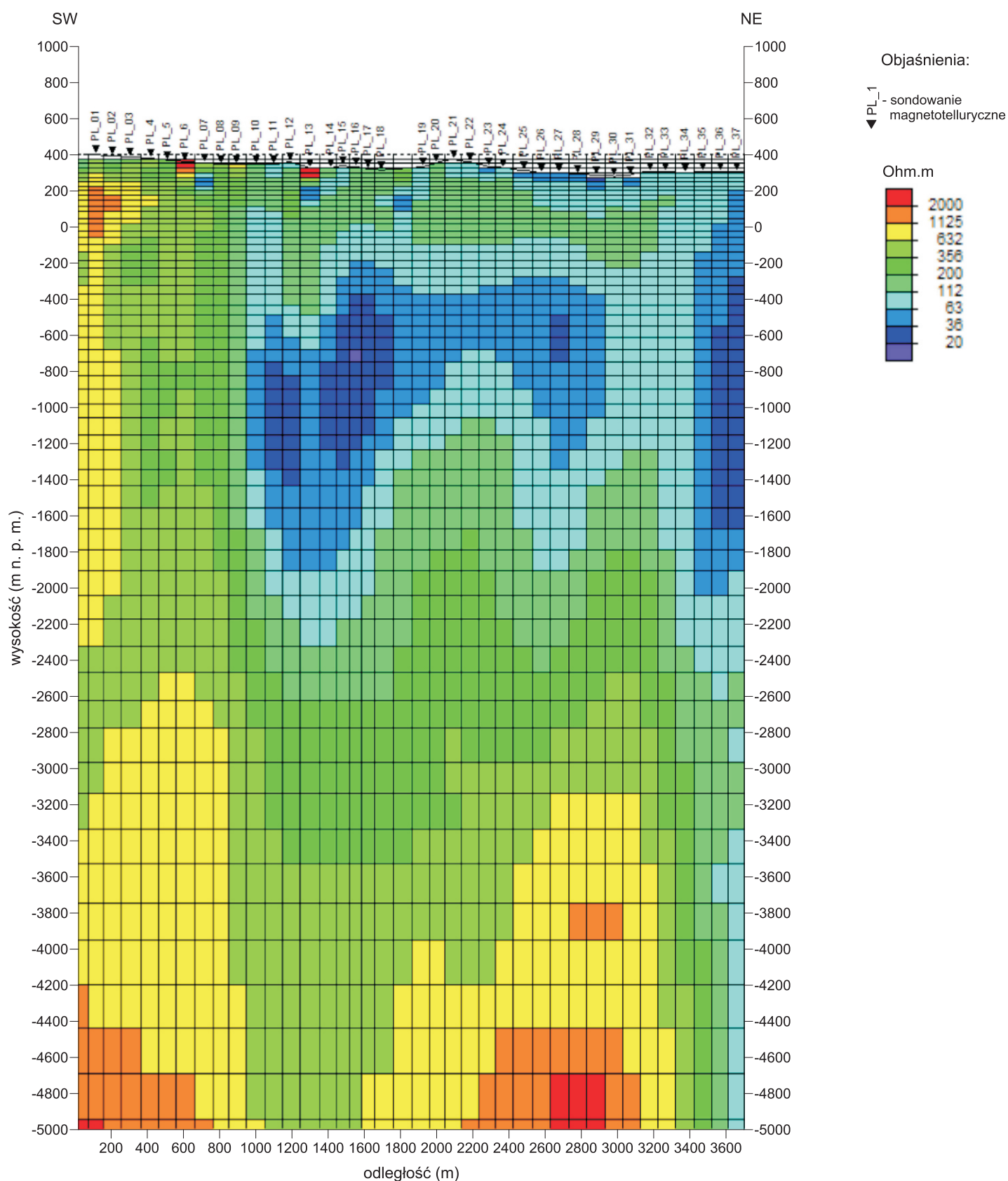


Figura 3.7.1.5j Rozkład oporności wzdłuż profilu 1-PL-18 Pławna na podstawie inwersji 2D wg algorytmu NLCG (iteracja 10), skala 1: 25 000

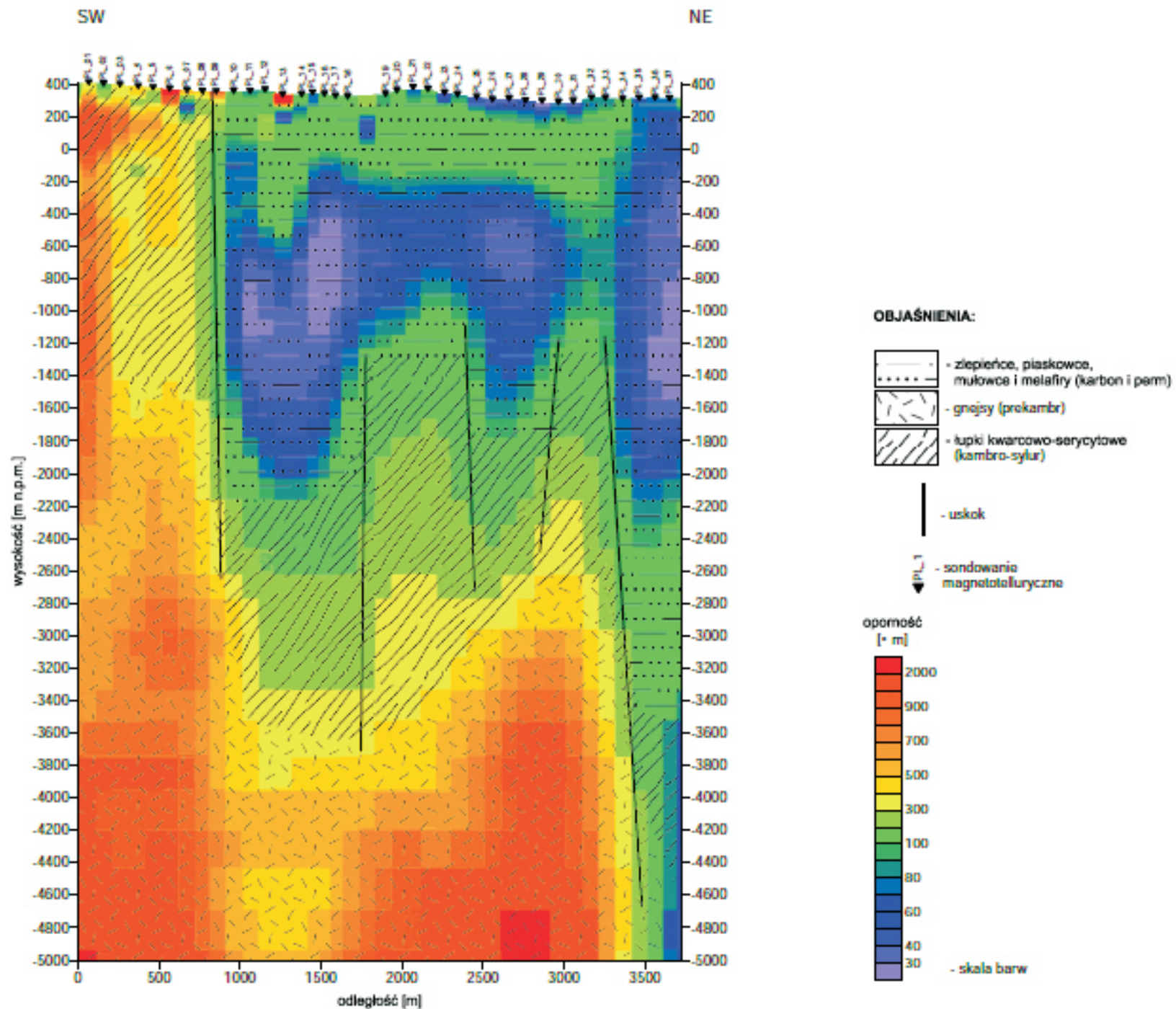


Figura 3.7.1.6. Interpretacja geologiczna wzdłuż profilu 1-PL-18 Pławna wykonana na podstawie rozkładu oporności uzyskanego w wyniku inwersji 2D wg algorytmu NLCG oraz danych geologicznych, skala 1:25 000